

استخراج مدل سینتیک خشک شدن شلتوك رقم فجر در خشک کن لایه نازک

محمود امید^{۱*}، علیرضا یدالهی نیا^۲ و شاهین رفیعی^۳

^۱ دانشیار، ^۲ کارشناس ارشد، و ^۳ دانشیار، دانشکده مهندسی و فناوری کشاورزی، دانشگاه تهران

(تاریخ دریافت: ۱۳۸۸/۵/۲ - تاریخ تصویب: ۱۳۸۹/۴/۲۲)

چکیده

برنج یکی از محصولات مهم کشاورزی می‌باشد. با توجه به اهمیت سالم ماندن دانه برنج در طی فرآیند شالی کوبی و تاثیر شرایط خشک کردن بر میزان شکستگی برنج در طی فرآوری، کنترل دقیق شرایط خشک کردن آن مهم می‌باشد. هدف از این مطالعه ارائه مدل سینتیک خشک شدن شلتوك رقم فجر می‌باشد. برای این منظور آزمایشات در پنج سطح دمای ۳۰ تا ۷۰ درجه سلسیوس و چهار سطح سرعت هوای ۰/۲۵ تا ۱/۰ متر بر ثانیه و در سه تکرار (جمعاً ۶۰ سری آزمایش) بر روی توده بستر نازک شلتوك داخل خشک کن مورد بررسی قرار گرفت. رطوبت محصول در شروع خشک شدن در تمامی آزمایش‌ها در حدود ۲۷ درصد (بر پایه خشک) بود. رطوبت تعادلی با توجه به رطوبت نسبی و دمای خشک کن از معادلات هم‌دماهی تجربی مرسوم محاسبه شد. رطوبت توده محصول در طی خشک شدن هر ۵ ثانیه توسط یک ترازوی دیجیتالی اندازه‌گیری و در رایانه ذخیره شد. نمودارهای نسبت رطوبت و آهنگ خشک شدن در طی خشک کردن به دست آمد. مدل سینتیک خشک شدن توده شلتوك با هشت مدل تجربی رایج و برآسانس سه شخص آماری شامل ضریب تعیین، مریع کای و RMSE با هم مقایسه شد. نتایج حاصل از تجزیه و تحلیل آماری حاکی از آن است که برای شلتوك رقم فجر مدل تقریب پخش نسبت به سایر مدل‌ها از دقت بالاتری برخوردار است. مقدار ضریب تعیین این مدل در دماهای ۳۰، ۴۰، ۵۰، ۶۰ و ۷۰ درجه سلسیوس به ترتیب برابر ۰/۹۹۶، ۰/۹۹۸، ۰/۹۹۹ و ۰/۹۹۹ بود که نشان می‌دهد مدل تقریب پخش می‌تواند با دقت بالایی تغییرات رطوبت شلتوك را شبیه‌سازی کند.

واژه‌های کلیدی: شلتوك، خشک کن لایه‌نازک، سینتیک خشک شدن، مدل‌سازی

خشک کردن شلتوك برنج باعث می‌شود یا زده تبدیل شلتوك به برنج سفید نیز افزایش یافته و کیفیت محصول در طی انبارداری بهتر و به مدت طولانی تر حفظ شود. رطوبت مناسب برای انبار کردن یا پوست کنی برنج حدود ۱۴ درصد است. بنابراین محصول برنج بایستی بلافاصله بعد از برداشت تا ۱۴ درصد رطوبت خشک شود (Rafiee, 1998; Yadollahinia, 2006). فرایند خشک شدن شلتوك بایستی به آرامی و کاملاً یکتواخت انجام شود، به همین دلیل استفاده از خشک کن‌هایی که شرایط فرایند خشک شدن در آنها قابل مهار باشد امری ضروری به نظر می‌رسد.

تاکنون تحقیقات زیادی در زمینه خشک کردن لایه نازک، مدل‌سازی و استخراج منحنی سینتیک خشک شدن محصولات کشاورزی شامل شلتوك (Wang & Singh, 1978; Sheri & Chen, 1998; Cihan & Mehmet, 2001; Chen & Wu, 2001; Basunia & Abe, 2001; Sun & Woods, 1994)، گندم (Demirtas et al., 1999; Özdemir & Devres, 1999)، دانه های کلزا (Patak, 1991)، ذرت (Doymaz, 2003)، سیب زمینی و انگور فرآوری شده (Miyamoto et al., 2002)، پسته (Mohapatra & Srinivasa, 2005)، نیم جوش شده (Dort, 2003)، سیب زمینی و

مقدمه

برنج یکی از قدیمی‌ترین و مهمترین مواد غذایی بشر بوده و هست و تقریباً یک سوم مردم جهان به این ماده مهم غذایی به عنوان غذای اصلی وابسته‌اند. برنج بعد از گندم به عنوان مهمترین ماده غذایی در ایران محسوب می‌شود و هرساله سطح وسیعی از اراضی کشور به کشت این محصول با ارزش اختصاص می‌یابد. برنج به صورت شلتوك برداشت می‌شود که دارای رطوبت نسبتاً زیادی (۳۵٪-۲۵٪) است (Rafiee, 1998). این محصول در زنجیره تبدیل می‌باشی از مراحل مختلفی عبور کرده تا قابل استفاده گردد. یکی از مهمترین مراحلی که شلتوك بایستی قبل از هر فرایند دیگری از آن بگذرد مرحله خشک شدن است، که یکی از حساس‌ترین مراحل در زنجیره تولید محسوب می‌گردد. چه بخواهند شلتوك را در انبار نگهداری کنند و یا آن را برای مرحله پوست کنی و سفید کنی به کارخانجات شالی کوبی تحویل دهند، انجام فرایند خشک کردن الزامی می‌باشد. لذا رعایت اصول دقیق علمی و فنی در فرایند

* نویسنده مسئول: Omid@ut.ac.ir

فرآیند خشک شدن بود. خشک شدن لایه نازک گندم نیم جوش شده به طور کاملاً دقیق به وسیله مدل دو جمله‌ای که ثابت‌های Patak (1994) و Sun & Woods (1991) پس از انجام تحقیقات روی خشک کردن کلزا و گندم به روش لایه نازک دریافتند که دما اثر زیادی بر روی سرعت خشک شدن دارد در حالی که سرعت هوای ورودی و رطوبت نسبی هوای خشک کن تاثیر کمی بر روی سرعت خشک شدن این محصولات دارد.

هدف این مقاله مدل‌سازی و استخراج منحنی سینتیک خشک شدن شلتوك (رقم فجر) و ارزیابی مدل‌های تجربی مرسوم می‌باشد. برای این منظور ابتدا با استفاده از یک خشک کن لایه نازک آزمایشگاهی آزمایش‌های بر روی توده بستر نازک شلتوك صورت گرفت که جزئیات آن در بخش‌های بعد ارائه شده است.

مواد و روش‌ها

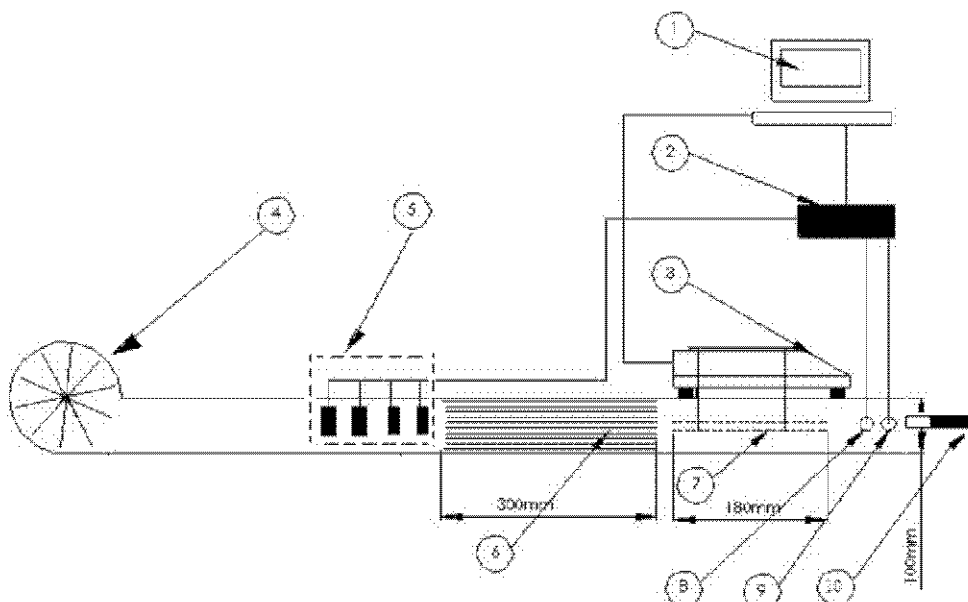
مشخصات دستگاه خشک‌کن. برای انجام آزمایشات، در این تحقیق از یک خشک‌کن لایه نازک آزمایشگاهی با ویژگی‌های زیر استفاده شد. طرحواره و ابعاد خشک کن در شکل (۱) نشان داده شده است. این خشک‌کن از یک رایانه برای جمع‌آوری داده، مدار الکترونیکی جهت کنترل فرآیند، یک فن سانتریفیوز برای دمیدن هوای چهار عدد هیتر بر قی مگم کردن هوای ورودی به محفظه خشک‌کن، سه عدد حسگر (برای اندازه‌گیری دما، رطوبت نسبی هوای خشک‌کننده و سرعت هوای)، یک ترازوی دیجیتالی برای اندازه‌گیری وزن توده محصول، یک محفظه مستقیم کننده و دو عدد سینی مشبک برای قرار دادن نمونه‌ها تشکیل شده است. در جدول (۱) مشخصات‌ها و دقت وسایل اندازه‌گیری مورد استفاده ارائه شده است. این مشخصات در گستره پیشنهادی انجمن مهندسین کشاورزی امریکا می‌باشد (ASAE, 2002). سخت افزار پایش و کنترل دستگاه شامل یک رایانه، برد اصلی، حسگرهای مدار کنترل و مدار تغذیه می‌باشند. اطلاعات مربوط به این خشک‌کن همراه با نقشه مدارهای الکترونیکی، کدهای اسمبلی برنامه میکروکنترلر و نرم افزار تحصیل داده در پایان نامه Yadollahinia (2006) و Yadollahinia et al. (2008) موجود است.

جدول ۱- مشخصه ابزارهای اندازه‌گیری همراه با دقت نامی آنها

| نام ابزار | مدل | دقت ابزار | شرکت سازنده |
|-----------------|------------|------------------------|------------------------------|
| ترازوی دیجیتالی | GF3000 | A&D, Japan $\pm 1\%$ g | |
| NSC, USA | LM35 | $\pm 1^\circ C$ | |
| Philips, UK | Capacitive | $\pm 3\%$ | |
| TESTO, GR | 405-V1 | $\pm 3\%$ | حسگر رطوبت حسگر سرعت هوای |

ارقام اوحدی (Rafiee & Kashaninejad, 2005) و اکبری (Omid et al. 2009) صورت گرفته است که در ادامه بعضی از آنها را مرور می‌کنیم. آنها از یک معادله شلتوك را به صورت لایه نازک مدل کردند. آنها از دست آمده در یک خشک کن لایه نازک استفاده نمودند. Shei & Chen (1998) خشک شدن به صورت متناوب شلتوك را به صورت لایه نازک مورد آزمایش قرار دادند. آزمایش‌ها در پنج سطح دمای ۳۵ تا ۶۰ درجه سلسیوس و دو سطح سرعت هوای ورود ۰/۱۵ و ۰/۲۵ متر بر ثانیه انجام شد. طول یک دوره خشک کردن از ۵ تا ۱۵ دقیقه و طول دوره هوادهی از ۴۰ تا ۱۲۰ دقیقه متغیر بود. داده‌های به دست آمده از این آزمایش‌ها با چهار مدل تجربی تامسون، هندرسون-پابیس، دو جمله‌ای و ونگ-سینگ برازش داد و در نهایت مدل هندرسون-پابیس را به عنوان بهترین مدل برای پیش‌بینی خشک شدن شلتوك ارائه نمودند. Chen & Wu (2001) نیز خشک شدن شلتوك را به صورت لایه نازک مدل کردند. آنها آزمایش‌ها در پنج سطح دمای ۳۵ تا ۶۰ درجه سلسیوس و رطوبت نسبی ۱۰ تا ۵۰ درصد انجام دادند. داده‌های به دست آمده از آزمایش‌ها با چهار مدل نمایی، پیج، دو جمله‌ای و ونگ-سینگ مورد بررسی قرار گرفت. آنها از ضرب تبیین (R^2) به عنوان معیاری برای مقایسه کمی و از باقیمانده وزنی برای مقایسه کیفی ارزیابی نکویی برازش^۲ مدل‌ها استفاده نموده و در نهایت مدل دو جمله‌ای را به عنوان بهترین مدل برای پیش‌بینی خشک شدن لایه نازک شلتوك معرفی کردند. Doymaz (2003) خشک شدن ذرت به صورت لایه نازک را مورد بررسی قرار داد. آزمایش‌ها در یک خشک کن کابینتی در سه سطح دمای ۵۵ و ۶۵ و ۷۰ درجه سلسیوس و سرعت هوای ورودی ۰/۴۳ متر بر ثانیه و در سه تکرار صورت گرفت. رطوبت اولیه ذرت در شروع خشک کردن ۳۰ درصد (بر پایه خشک) بود که در پایان خشک کردن به ۱۴ درصد (بر پایه خشک) رسید. داده‌های حاصل از آزمایش‌ها با مدل‌های تجربی پیج و نمایی مورد بررسی قرار گرفتند که مدل پیج نسبت به مدل نمایی بهتر می‌توانست خشک شدن ذرت را پیش‌بینی کند. Mohapatra & Srinivasa (2005) خشک شدن گندم نیم جوش شده را در دماهای ۴۰ تا ۶۰ درجه سلسیوس آزمایش کردند. داده‌های حاصل از آزمایش‌ها با مدل‌های تجربی و نیمه تجربی مورد تجزیه و تحلیل قرار گرفتند. پایان خشک شدن در مرحله نزولی خشک شدن صورت گرفت که نشان‌دهنده اثر انتشار رطوبت در

3. Goodness of fit



شکل ۱- طرحواره خشک کن ساخته شده شامل رایانه^۱، میکروکنترلر و مدارات کنترل^۲، ترازوی دیجیتال^۳، فن سانتر بیفیوز^۴، چهار عدد گرمکن الکتریکی^۵، محفظه مستقیم کننده^۶، سینی نمونه ها^۷، حسگر دما^۸، ۹- حسگر رطوبت^۹ و حسگر سرعت هوا^{۱۰} (Yadollahinia ۲۰۰۶).

$$M_d = \frac{W_W - W_d}{W_d} \quad (1)$$

که در آن M_d میزان رطوبت بر پایه خشک (درصد)، W_W وزن شلتونک تر و W_d وزن شلتونک خشک است. خشک شدن تا زمانی که نسبت رطوبت توده شلتونک به $\frac{1}{2}$ ٪ (تقریباً ثابت) پرسد ادامه می‌یافتد.

آزمایش‌ها در پنج سطح دمایی ۳۰، ۴۰، ۵۰، ۶۰ و ۷۰ درجه سلسیوس، چهار سطح سرعت هوای ورودی ۰/۲۵، ۰/۵، ۰/۷۵ و ۱ متر بر ثانیه و در سه تکرار (جمعاً ۶۰ سری) انجام شد. رطوبت اولیه شلتوك در شروع تمامی آزمایش‌ها به محدوده رطوبتی ۰/۲۷٪ (بر پایه خشک) رسانده شد. برای آماده سازی نمونه‌ها و رساندن آنها به رطوبت معین ابتدا رطوبت اولیه شلتوك با روش آون تعیین شد. به این ترتیب که سه نمونه شلتوك در سه ظرف مجزا قرار گرفته و پس از وزن کردن، نمونه‌ها به مدت ۱۲ ساعت در آون با دمای ۱۳۰ درجه سلسیوس خشک شدند (Pabis et al., 1998). پس از بیرون آوردن نمونه‌ها از داخل آون، نمونه‌ها مجدداً وزن شده و با استفاده از رابطه (۱) رطوبت نمونه‌ها (بر پایه خشک) محاسبه شد که مقدار آن برابر ۸/۳۳ درصد به دست آمد. به کمک رابطه (۲) مقدار آب مورد نیاز برای اضافه کردن به توده برای رساندن رطوبت اولیه به طوبت ۰/۲۷٪ محاسبه شد:

$$W_w = \frac{W_1}{1+M_{d1}}(M_{d2} - M_{d1}) \quad (8)$$

که در آن M_{d1} و M_{d2} به ترتیب رطوبت قبل و بعد از اضافه کردن آب (بر پایه خشک) می‌باشد. W_1 وزن توده

در این تحقیق از شلتوك رقم فجر استفاده شد. این رقم با وزن هزار دانه $\frac{23}{2}$ گرم دارای عملکرد ۶ تا $\frac{6}{5}$ تن در هکتار می‌باشد. شلتوك مورد نیاز برای آزمایش از مزرعه تحقیقاتی موسسه تحقیقات برنج کشور در آمل تهیه گردید. این رقم با وزن هزار دانه $\frac{23}{2}$ گرم دارای عملکرد ۶ تا $\frac{6}{5}$ تن در هکتار می‌باشد، البته در بعضی از مزارع تا ۸ تن در هکتار نیز برداشت شده است (Anon., 2009). ارتفاع، ضخامت و عرض ۵۰ عدد شلتوك رقم فجر با استفاده از یک کولیس (با دقیقه ۱/۰ میلی متر) اندازه گیری شد، ارتفاع، ضخامت و عرض میانگین به ترتیب برابر $10/98$ ، $2/24$ و $1/92$ میلی متر به دست آمد.

برای آماده کردن خشک کن، پس از روشن کردن رایانه، فن ترازو، المنت ها و سرعت فن برای آزمایش مورد نظر تنظیم و دمای مورد نظر برای آزمایش در نرم افزار تنظیم می گردید. هرچند که فن سانتریفیوژ مورد استفاده دارای قابلیت تغییر میزان هوای ورودی به محفظه فن برای تنظیم سرعت هوا در خروجی می باشد، با این حال برای تنظیم دقیق تر سرعت هوا و ثابت نگه داشتن آن در خروجی فن از یک مدار الکترونیکی استفاده شد (Yadollahinia, 2006). این مدار با تغییر در ولتاژ ورودی به موتور، دور آن را تغییر می دهد. برای رسیدن شرایط سیستم به حالت پایدار کلیه آزمایش ها نیم ساعت بعد از روشن کردن دستگاه شروع می شد. سپس سینی حاوی نمونه ها در محفظه خشک کن قرار می گرفت. وزن نمونه ها در فواصل زمانی ۵ ثانیه به صورت خودکار توسط نرم افزار ترازوی دیجیتالی ثبت و در رایانه ذخیره می گردید. با استفاده از رابطه (۴) رطوبت نمونه ها در هر لحظه محاسبه شد:

که در آن MR نسبت رطوبت، M رطوبت توده در لحظه جاری، M_e رطوبت تعادلی و M_0 رطوبت اولیه توده محصول است. M_e با توجه به رطوبت نسبی و دمای خشک کن و براساس استاندارد ASAE محاسبه شد (ASAE, 2002).

برای به دست آوردن مدل سینتیک خشک شدن توده شلتوك رقم فجر، تغییرات MR در طی آزمایش ها با ۸ مدل تجربی رایج خشک کردن به روش لایه نازک مقایسه شد (جدول ۲). ثابت ها و ضرایب این مدل ها (A, B, k, k_b, k_z, n, b, g) براساس متغیر مستقل زمان با استفاده از نرم افزار SPSS 10.5 برای دماها و سرعت های مختلف استخراج گردید (Yadollahinia, 2006).

محاسبه نرخ خشک شدن. شدت یا نرخ خشک شدن (DR) شلتوك در طی خشک شدن به عوامل زیادی نظیر رقم و اندازه دانه، درجه حرارت و رطوبت نسبی هوای خشک کن، دبی جریان هوای زمان در معرض قرار گرفتن توده در مقابل جریان هوای محتوای رطوبت اولیه و غیره بستگی دارد که در این میان درجه حرارت و رطوبت نسبی هوای خشک کن، دبی جریان هوای زمان در معرض قرار گرفتن توده در مقابل جریان هوای جزء متغیرهای مهم و اساسی خشک شدن به شمار می آیند. عموماً برای محاسبه DR از رابطه ساده (۴) استفاده می شود:

(Akpinar et al., 2003)

$$DR = \frac{M_{t+dt} - M_t}{dt} \quad (4)$$

که در آن M_t و M_{t+dt} به ترتیب رطوبت توده شلتوك در زمان t و $t+dt$ و dt میزان افزایش زمان در هر گام زمانی می باشد. گام زمانی (dt) برای تمام محاسبات ۱۵ ثانیه انتخاب گردید.

جدول ۲- مدل های خشک کردن به روش لایه نازک

| مرجع | معادله* | نام مدل | مدل |
|--------------------------|--|----------------|-----|
| (1921) Lewis | $MR = \exp(-kt)$ | نیوتون | ۱ |
| (1949) Page | $MR = \exp(-kt^n)$ | پیج | ۲ |
| (1961) Henderson & Pabis | $MR = A \exp(-kt)$ | هندرسون-پابیس | ۳ |
| (2001) Yaldız & Ertekin | $MR = A \exp(-kt) + B$ | لگاریتمی | ۴ |
| (1998) Pabis et al. | $MR = A \exp(-k_1 t) + B \exp(-k_2 t)$ | دو جمله ای | ۵ |
| (2001) Yaldız & Ertekin | $MR = A \exp(-kt) + (1-A) \exp(-kbt)$ | تقریب پخش | ۶ |
| (2003) Akpinar et al. | $MR = A \exp(-kt) + (1-A) \exp(-gt)$ | ورما و همکاران | ۷ |
| (1978) Wang & Singh | $MR = 1 + At + Bt^2$ | ویگ و سینگ | ۸ |

* n, A, B, g, k, k_1, k_2 به ترتیب ضرایب و ثابت های مدل تجربی هستند.

محصول (با رطوبت ۰/۸۳۳٪ درصد بر پایه خشک) است که در این تحقیق ۱۳۰ گرم در نظر گرفته شد. با معلوم بودن M_{d1} و W_1 که به ترتیب برابر ۰/۰۸۳۳ و ۰/۲۷ و ۱۳۰ گرم می باشند، میزان آب لازم برای رساندن رطوبت نمونه به ۰/۲۷٪ با استفاده از رابطه (۲) برابر ۲۲/۴ گرم به دست آمد.

يعنى حجم آبی که باید اضافه گردد تا رطوبت محصول از مقدار اولیه به رطوبت ۰/۲۷٪ برسد تقریباً ۲۲/۴ سی سی است. برای تهیه نمونه ها، ۱۳۰ گرم شلتوك را در کیسه پلاستیکی ریخته و با سرنگ ۲۲/۴ سی سی آب به آن اضافه شد. پس از آن درب کیسه ها را محکم بسته و به مدت ۷۲ ساعت قبل از هر سری آزمایش در داخل بچال با دمای ۱۰ درجه سلسیوس نگهداری شدند. برای یکنواختی بهتر نمونه ها هر ۲۴ ساعت یک بار به طور کامل بهم زده می شدند. قبل از انجام هر آزمایش نمونه ها از داخل کیسه ها به ظرف مخصوصی منتقل و در هوا آزاد قرار داده می شدند تا با خارج شدن مقداری کمی آب از محصول رطوبت آنها به ۰/۲۷٪ (بر پایه خشک) برسد. رسیدن به این سطح رطوبت با وزن کردن نمونه ها مشخص می شد. سپس نمونه ها به دو قسمت تقریباً مساوی تقسیم شده و هر قسمت در یک طبقه از سینی خشک کن قرار می گرفت و آزمایش شروع می شد.

مدلسازی ریاضی منحنی خشک شدن. برای مدلسازی ریاضی خشک شدن توده بستر نازک شلتوك از نسبت رطوبت در طی خشک شدن توده استفاده گردید. نسبت رطوبت با توجه به رطوبت اولیه، رطوبت تعادلی و رطوبت توده در هر لحظه در طی خشک شدن از رابطه (۳) محاسبه شد:

$$MR = \frac{M - M_e}{M_0 - M_e} \quad (3)$$

مجموع ۶۰ سری داده برداری صورت گرفت. پس از محاسبه رطوبت تعادلی با توجه به رطوبت نسبی و دمای خشک کن نسبت رطوبت بر حسب زمان از رابطه (۳) محاسبه شد. از برآشن داده‌های به دست آمده با رابطه (۳) و مدل‌های تجربی (جدول ۲). مقادیر R^2 , χ^2 و $RMSE$ برای همه آزمایش‌ها به دست آمد. برای ارزیابی مدل‌ها، ابتدا مقدار بیشتر ضریب تبیین و سپس مقادیر کوچکتر χ^2 و $RMSE$ مورد بررسی قرار گرفت. در آخر، با استفاده از نرم افزار SPSS 10.5 ثابت‌ها و ضرایب هر هشت مدل برای دمایا و سرعت‌های مختلف همراه با سه شاخص آماری (معادلات ۵ تا ۷) محاسبه شد. خلاصه نتایج تجزیه و تحلیل آماری در جداول (۳) و (۴) آمده است. مطابق با جدول (۳) بیشترین ضریب تبیین برای همه دمایا با مدل تقریب پخش حاصل آمد و مدل‌های لگاریتمی و دو جمله‌ای در رتبه‌های بعدی قرار گرفتند. برای این مدل، مقادیر متوسط R^2 در دمایا ۳۰ تا ۷۰ درجه سلسیوس به ترتیب برابر ۰/۹۹۶، ۰/۹۹۸ و ۰/۹۹۹، ۰/۹۹۹ و ۰/۹۹۹، ۰/۹۹۸ و ۰/۹۹۷ درجه سلسیوس بودند. مقادیر متوسط $RMSE$ برابر ۱/۰۰۰۱، ۰/۰۰۰۳، ۰/۰۰۰۹ و ۰/۰۰۰۲۱ درجه سلسیوس بودند. بود که نشان از دقت بالای مدل تقریب پخش است. در جدول (۴) کلیه ضرایب و ثابت‌های این مدل برتر همراه با سه شاخص آماری R^2 , χ^2 و $RMSE$ در دمایا و سرعت‌های مختلف برای تعیین نسبت رطوبت شلتوك رقم فجر ارائه شده است.

جدول ۳- مقایسه دقت برآشن مدل‌های تجربی مختلف براساس متوسط شاخص‌های آماری در دمایا مختلف

| نام مدل | حرارت خشک کردن (درجه سلسیوس) | | | | | | | | | | ۳ |
|---------|------------------------------|-------|--------|-------|--------|-------|--------|-------|--------|-------------------|---|
| | ۷۰ | | ۶۰ | | ۵۰ | | ۴۰ | | ۳۰ | | |
| R^2 | $RMSE$ | R^2 | $RMSE$ | R^2 | $RMSE$ | R^2 | $RMSE$ | R^2 | $RMSE$ | | |
| ۰/۹۹۹ | ۰/۰۶۰ | ۰/۹۹۹ | ۰/۰۲۶ | ۰/۹۹۹ | ۰/۰۲۶ | ۰/۹۹۸ | ۰/۰۱۷ | ۰/۹۹۶ | ۰/۰۳۱ | ۶ تقریب پخش | |
| ۰/۹۹۹ | ۰/۰۵۸ | ۰/۹۹۹ | ۰/۰۲۵ | ۰/۹۹۹ | ۰/۰۲۷ | ۰/۹۹۷ | ۰/۰۱۴ | ۰/۹۹۱ | ۰/۰۳۴ | ۴ لگاریتمی | |
| ۰/۹۹۹ | ۰/۰۵۹ | ۰/۹۹۹ | ۰/۰۲۶ | ۰/۹۹۹ | ۰/۰۲۶ | ۰/۹۸۴ | ۰/۰۱۹ | ۰/۹۶۲ | ۰/۰۳۴ | ۵ دو جمله‌ای | |
| ۰/۹۹۲ | ۰/۰۶۴ | ۰/۹۹۵ | ۰/۰۳۲ | ۰/۹۹۷ | ۰/۰۲۹ | ۰/۹۹۳ | ۰/۰۱۸ | ۰/۹۹۰ | ۰/۰۳۴ | ۲ پیج | |
| ۰/۹۷۶ | ۰/۰۶۶ | ۰/۹۷۷ | ۰/۰۴۵ | ۰/۹۸۳ | ۰/۰۳۴ | ۰/۹۵۳ | ۰/۰۳۷ | ۰/۹۲۹ | ۰/۰۵۴ | ۳ هندرسون و پابیس | |
| ۰/۹۸۱ | ۰/۰۶۱ | ۰/۹۷۲ | ۰/۰۴۹ | ۰/۹۷۵ | ۰/۰۳۳ | ۰/۹۲۵ | ۰/۰۴۷ | ۰/۸۲۶ | ۰/۰۶۷ | ۸ ونگ و سینگ | |
| ۰/۹۶۸ | ۰/۰۶۳ | ۰/۹۷۵ | ۰/۰۴۱ | ۰/۹۶۵ | ۰/۰۳۳ | ۰/۸۷۴ | ۰/۰۶۲ | ۰/۸۸۸ | ۰/۰۷۳ | ۷ ورما و همکاران | |
| ۰/۹۶۶ | ۰/۰۶۶ | ۰/۹۵۶ | ۰/۰۵۵ | ۰/۹۶۵ | ۰/۰۲۸ | ۰/۸۷۴ | ۰/۰۴۹ | ۰/۸۴۳ | ۰/۰۸۳ | ۱ نیوتون | |

شنون توده شلتوك را پیش بینی می‌کند. پس از مدل تقریب پخش، مدل‌های دو جمله‌ای، لگاریتمی، پیج، هندرسون-پابیس، ونگ-سینگ، ورما و همکاران و نیوتون (جدول ۲) به ترتیب در رتبه‌های بعدی قرار گرفتند. بررسی سایر نتایج به دست آمده برای سایر سرعت‌ها (۰/۵ تا ۱ متر بر ثانیه) نشان می‌دهد که مدل تقریب پخش تعییرات نسبت رطوبت توده شلتوك رقم فجر

از ریاضی مدل‌ها. برای تعیین بهترین مدل از سه معیار ضریب تبیین (معادله ۵)، مربع کای (معادله ۶) و متوسط خطای داده‌ها (معادله ۷)، استفاده شد (Akpinar et al., 2003):

$$R^2 = \frac{\sum_{i=1}^N (MR_{\text{exp},i} - MR_{\text{pre},i})^2}{\sum_{i=1}^N (MR_{\text{exp},i} - MR_{\text{ave},i})^2} \quad (5)$$

$$\chi^2 = \frac{\sum_{i=1}^N (MR_{\text{exp},i} - MR_{\text{pre},i})^2}{N-n} \quad (6)$$

$$RMSE = \left[\frac{1}{N} \sum_{i=1}^N (MR_{\text{pre},i} - MR_{\text{exp},i})^2 \right]^{0.5} \quad (7)$$

که در آن MR_{exp} نسبت رطوبت به دست آمده در طی خشک شدن، $MR_{\text{pre},i}$ نسبت رطوبت پیش بینی شده توسط مدل، $MR_{\text{ave},i}$ میانگین نسبت رطوبت مشاهدات، N تعداد مشاهدات و n تعداد ثابت‌های مدل می‌باشد. در مقایسه بین هشت مدل تجربی ارائه شده در جدول (۲)، مدلی بهتر است که دارای R^2 بزرگتر، مقادیر χ^2 و $RMSE$ کوچکتر باشد زیرا بهتر می‌تواند تعییرات نسبت رطوبت را در طی خشک شدن پیش‌بینی کند.

نتایج و بحث

همان‌گونه که در بخش قبلی اشاره شد، آزمایش‌ها در پنج سطح دمایی (بین ۳۰ تا ۷۰ درجه سلسیوس) و چهار سطح سرعت هوای ورودی (از ۰/۲۵ تا ۰/۰۵ متر بر ثانیه) و در سه تکرار بر روی توده بستر نازک شلتوك رقم فجر انجام شد. در

منحنی نسبت رطوبت بر اساس داده‌های آزمایشگاهی (رابطه ۳) و داده‌های استخراج شده توسط مدل تقریب پخش در سرعت ۰/۲۵ متر بر ثانیه در شکل (۲) نشان داده شده است. با توجه به نتایج موجود در جدول (۳) و شکل (۲)، می‌توان نتیجه گرفت که در سرعت ۰/۲۵ متر بر ثانیه مدل تقریب پخش در هر پنج سطح دمایی نسبت به سایر مدل‌ها با دقت بیشتری خشک

سرعت‌های مختلف به دست آمد. آهنگ خشک شدن توده بستر نازک شلتوك در سرعت‌های $0/25$ و $0/75$ متر بر ثانیه شده در شکل (۴) نشان داده شده است. با توجه به جدول (۵) و نتایج ارائه شده در شکل (۴)، نتیجه می‌گیریم که هر چه دمای خشک کن بیشتر باشد آهنگ خشک شدن (DR) نیز سریعتر می‌شود. برای مثال، در دمای 70 درجه سلسیوس و سرعت $0/75$ متر بر ثانیه، آهنگ خشک شدن در 45 دقیقه ابتدایی سریعتر از سایر دماها می‌باشد و سپس کاهش می‌یابد. این روند در سرعت‌های دیگر نیز وجود دارد (Yadollahinia, 2006). با توجه به اینکه DR با گذشت زمان و کاهش رطوبت نسبی هوا در طی خشک کردن کاهش می‌یابد، در نتیجه خشک شدن در مرحله نزولی انجام می‌گیرد. با افزایش سرعت خشکشدن پتانسیل انتقال حرارت بین هوا و توده شلتوك افزایش یافته و رطوبت با سرعت بیشتری بخار شده و از سطح دانه شلتوك خارج می‌گردد.

جدول-۵- مدت زمان لازم برای خشک کردن نمونه ها در دماهای مختلف

| دما (°C) | زمان (دقیقه) |
|----------|--------------|
| ۷۰ | ۲۷۰ |
| ۶۰ | ۳۳۰ |
| ۵۰ | ۳۹۰ |
| ۴۰ | ۷۲۰ |
| ۳۰ | ۱۴۴۰ |

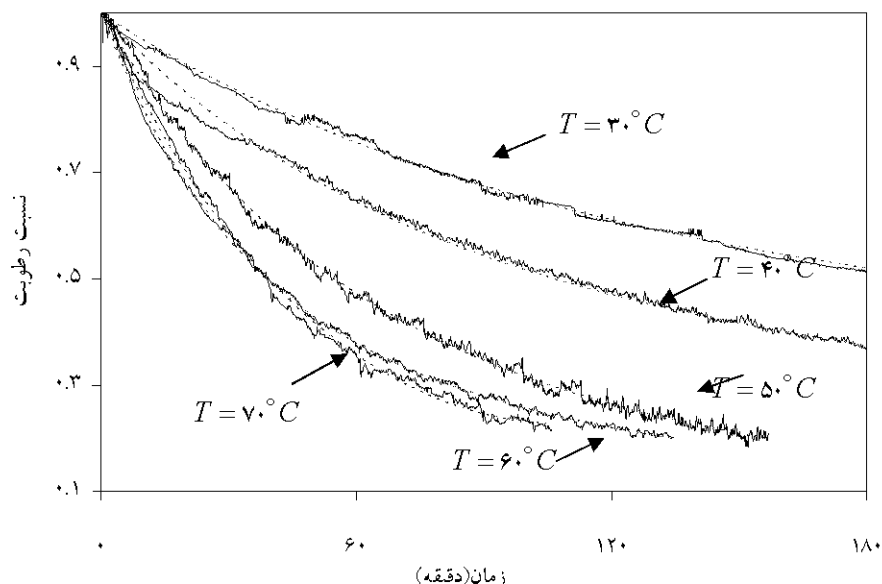
را در طی خشک شدن با دقت بیشتری نسبت به سایر مدل‌ها پیش‌بینی می‌کند. ضرایب و ثابت‌های این مدل، یعنی A و b در جدول (۲)، برای تعیین MR همراه مقادیر R^2 ، χ^2 و $RMSE$ در دماها و سرعت‌های مختلف در جدول (۴) ارائه شده است.

محضی خشک شدن در سرعت‌های مختلف و دمای ثابت 60 درجه سلسیوس در شکل (۳) نشان داده شده است. این روند برای دمای 30 ، 40 ، 50 و 70 درجه سلسیوس) نیز مشاهده گردید (Yadollahinia, 2006)، یعنی، افزایش سرعت هوا (از $0/25$ تا یک متر بر ثانیه) بر روی مدت زمان خشک شدن توده لایه نازک شلتوك رقم فجر در دماهای بررسی شده (30 تا 70 درجه سلسیوس) اثر چندانی ندارد. این نتیجه گیری Sun & Woods (1991) برای کلزا و Patak (1994) برای گندم به دست آورده مطابقت دارد.

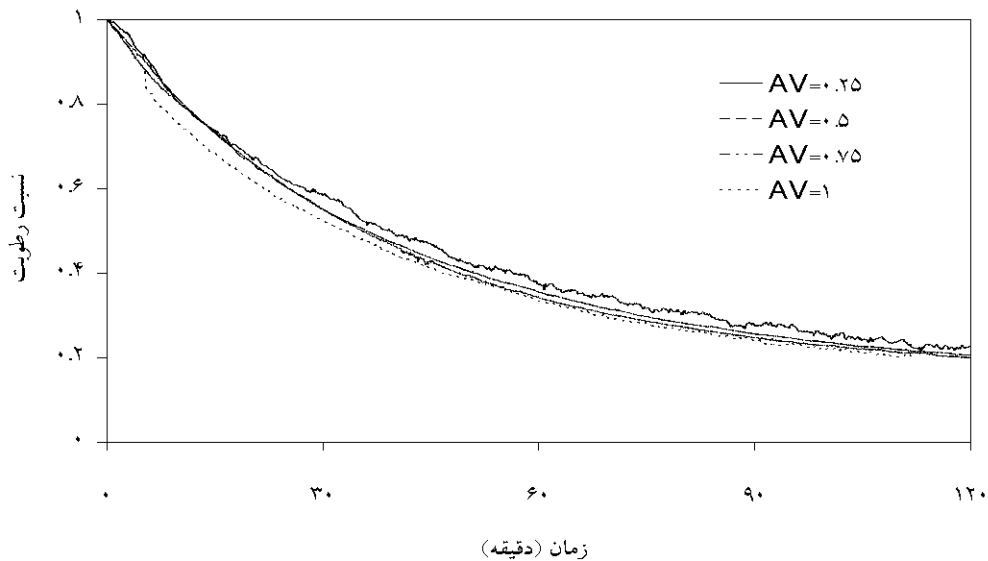
مدت زمان خشک کردن توده محصول در دماهای مختلف در جدول (۵) آورده شده است. هر چه دمای خشک کن بیشتر باشد توده بستر نازک شلتوك سریعتر خشک می‌شود. با استفاده از رابطه (۴) آهنگ خشک شدن بر حسب زمان برای توده لایه نازک شلتوك رقم فجر در طی خشک شدن برای

جدول-۴- مقادیر ثابت‌ها و ضرایب مدل تقریب پخش، (۴)، جهت تعیین نسبت رطوبت شلتوك رقم فجر در دماها و سرعت‌های مختلف

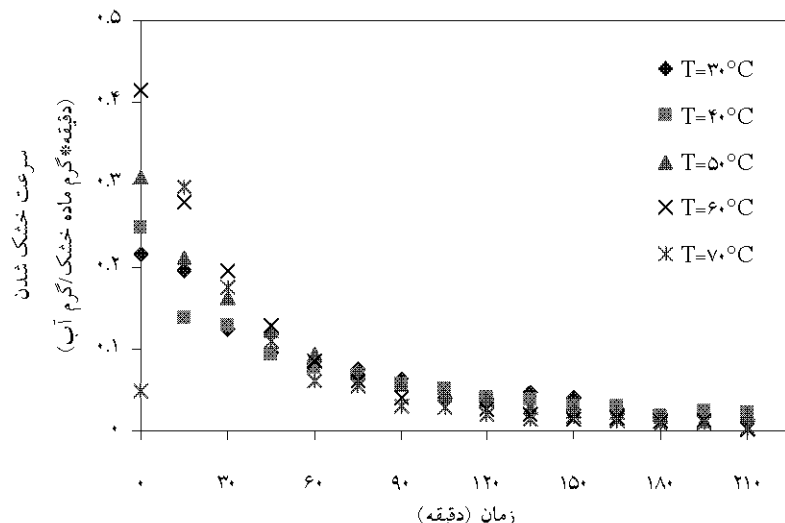
| RMSE | χ^2 | R^2 | k | b | A | سرعت (m/s) | دما (°C) |
|--------|----------|--------|--------|---------|--------|------------|----------|
| ۰/۰۰۶۹ | ۰/۰۰۰۰ | ۰/۹۹۸۴ | ۰/۰۱۰۰ | ۰/۰۹۵۳ | ۰/۴۷۵۷ | ۰/۲۵ | ۳۰ |
| ۰/۰۱۲۴ | ۰/۰۰۰۲ | ۰/۹۹۵۷ | ۰/۰۱۴۶ | ۰/۱۴۰۲ | ۰/۵۱۰۱ | ۰/۲۵ | ۴۰ |
| ۰/۰۱۰۸ | ۰/۰۰۰۱ | ۰/۹۹۷۶ | ۰/۰۱۸۶ | ۰/۲۵۰۴ | ۰/۶۵۸۳ | ۰/۲۵ | ۵۰ |
| ۰/۰۰۷۰ | ۰/۰۰۰۰ | ۰/۹۹۸۹ | ۰/۰۳۰۶ | ۰/۱۷۳۹ | ۰/۶۱۱۴ | ۰/۲۵ | ۶۰ |
| ۰/۰۱۲۴ | ۰/۰۰۰۲ | ۰/۹۹۷۰ | ۰/۰۱۸۰ | -۱/۶۸۸ | ۰/۹۹۶۷ | ۰/۲۵ | ۷۰ |
| ۰/۰۶۵۹ | ۰/۰۰۴۳ | ۰/۹۹۳۵ | ۰/۰۱۵۲ | ۰/۰۶۱۴ | ۰/۵۴۳۲ | ۰/۵ | ۳۰ |
| ۰/۰۱۸۷ | ۰/۰۰۰۳ | ۰/۹۹۹۵ | ۰/۰۱۵۹ | ۰/۱۱۶۹ | ۰/۵۳۶۷ | ۰/۵ | ۴۰ |
| ۰/۰۳۸۴ | ۰/۰۰۱۵ | ۰/۹۹۹۸ | ۰/۰۳۸۷ | ۰/۱۹۸۳ | ۰/۳۸۰۸ | ۰/۵ | ۵۰ |
| ۰/۰۲۱۲ | ۰/۰۰۰۴ | ۰/۹۹۹۸ | ۰/۰۳۰۲ | ۰/۱۴۴۴ | ۰/۶۸۴۳ | ۰/۵ | ۶۰ |
| ۰/۰۶۸۱ | ۰/۰۰۴۶ | ۰/۹۹۸۳ | ۰/۰۲۲۷ | ۰/۰۰۹۸ | ۰/۸۱۶۰ | ۰/۵ | ۷۰ |
| ۰/۰۳۸۱ | ۰/۰۰۱۵ | ۰/۹۹۶۰ | ۰/۰۱۰۳ | ۰/۱۱۵۶ | ۰/۳۵۱۱ | ۰/۷۵ | ۳۰ |
| ۰/۰۱۸۷ | ۰/۰۰۰۳ | ۰/۹۹۹۵ | ۰/۰۱۵۹ | ۰/۱۱۶۸ | ۰/۵۳۶۷ | ۰/۷۵ | ۴۰ |
| ۰/۰۲۸۰ | ۰/۰۰۰۸ | ۰/۹۹۹۹ | ۰/۰۲۴۳ | ۰/۲۱۴۷ | ۰/۵۸۹۹ | ۰/۷۵ | ۵۰ |
| ۰/۰۳۰۰ | ۰/۰۰۰۹ | ۰/۹۹۹۹ | ۰/۰۲۵۵ | -۰/۰۰۷۶ | ۰/۸۴۰۸ | ۰/۷۵ | ۶۰ |
| ۰/۰۷۶۰ | ۰/۰۰۰۸ | ۰/۹۹۹۵ | ۰/۰۳۹۲ | ۰/۱۳۰۲ | ۰/۸۹۴۱ | ۰/۷۵ | ۷۰ |
| ۰/۰۱۳۳ | ۰/۰۰۰۲ | ۰/۹۹۵۰ | ۰/۰۱۷۹ | ۰/۱۱۸۴ | ۰/۲۷۲۲ | ۱/۰ | ۳۰ |
| ۰/۰۱۸۵ | ۰/۰۰۰۳ | ۰/۹۹۶۴ | ۰/۰۱۷۱ | ۰/۱۴۸۰ | ۰/۴۰۶۳ | ۱/۰ | ۴۰ |
| ۰/۰۳۰۱ | ۰/۰۰۰۹ | ۰/۹۹۹۸ | ۰/۰۲۸۹ | ۰/۱۷۹۵ | ۰/۵۳۰۷ | ۱/۰ | ۵۰ |
| ۰/۰۴۵۸ | ۰/۰۰۲۱ | ۰/۹۹۸۷ | ۰/۰۵۸۵ | ۰/۱۷۹۱ | ۰/۳۸۴۲ | ۱/۰ | ۶۰ |
| ۰/۰۸۴۷ | ۰/۰۰۲۲ | ۰/۹۹۹۸ | ۰/۰۳۴۱ | ۰/۰۲۷۷ | ۰/۸۲۲۱ | ۱/۰ | ۷۰ |



شکل ۲- مقایسه منحنی خشک شدن براساس داده های آزمایشگاهی (خطوط پیوسته) و مدل تقریب پخش (خطوط نقطه چین)
در دماهای مختلف و سرعت هوا ورودی ۲۵/۰ متر بر ثانیه



شکل ۳- منحنی خشک شدن توode بستر نازک شلتوك در دمای ۶۰ درجه سلسیوس و سرعت های هوا ورودی مختلف



شکل ۴- آهنگ خشک شدن توode بستر نازک شلتوك رقم فجر در دماهای مختلف و سرعت هوا ورودی ۷۵/۰ متر بر ثانیه بر حسب زمان
www.SID.ir

پایین تولید می‌کند و نیز سادگی معادله (تعداد کم ضرایب و پارامترهای خشک شدن آن، یعنی k و n)، می‌تواند به عنوان کاربردی ترین مدل تقریبی برای مدلسازی خشک کردن توده شلتوك رقم فجر انتخاب و یا توصیه گردد.

۳- افزایش دمای خشک کن باعث افزایش سرعت خشک کردن گردید، ولی افزایش سرعت هوای ورودی به خشک کن تاثیر چندانی بر آهنگ خشک شدن نداشت. به طور کلی، می‌توان نتیجه گرفت که دمای هوا خشک کن اثر بیشتری نسبت به سرعت هوای ورودی بر روی آهنگ خشک شدن توده شلتوك رقم فجر دارد.

نتیجه‌گیری کلی

اهم نتایج حاصل از تحقیق به قرار زیر است:

۱- مدل‌های تقریب پخش، لگاریتمی، دوجمله‌ای و پیچ به ترتیب خشک شدن توده بستر نازک شلتوك رقم فجر را با دقت بیشتری نسبت به سایر مدل‌های تجربی مدلسازی می‌کنند. در این بین نیز مدل تقریب پخش به علت دارا بودن ضریب تبیین بالاتر و مربع کای و ریشه متوسط خطای داده پایین تر نسبت به سایر مدل‌های به عنوان بهترین مدل برای مدلسازی خشک کردن توده شلتوك رقم فجر انتخاب شد.

۲- با توجه به اینکه مدل پیچ به مقادیر بالای ضریب تبیین ($R^2 \geq 0.99$)، مربع کای و ریشه متوسط خطای

REFERENCES

- Anonymous (2009). Technical instruction for Fajer new rice cultivar. Retrieved December 2009. Rice Research Institute of Iran. Available at: <http://berenj.areo.ir/>
- Akpınar, K.E., Bıcar, Y. & Yıldız, C. (2003). Thin layer drying of red pepper. *Journal of Food Engineering*, 59, 99-104.
- ASAE Standards (2002). Standard engineering practices data: Thin-layer drying of grains and crops. *ASAE yearbook*, S448 DEC98, pp. 578-580.
- Basunia, M. A. & Abe, T. (2001). Thin layer solar drying characteristics of rough rice under natural convection. *Journal of Food Engineering*, 47(4), 295-301.
- Chen, C. & Wu, P.C. (2001). Thin layer drying model for rough rice with high moisture content. *Journal of Agricultural Engineering Resource*, 80(1), 45-52.
- Cihan, A. & Mehmet, C. (2001). Liquid diffusion model for intermittent drying of rough rice. *Journal of Food Engineering*, 49(4), 327-331.
- Demirtas, C., Ayhan, T. & Kaygusuz, K. (1998). Drying behaviour of hazelnuts. *Journal of the Science of Food and Agriculture*, 76, 559-564.
- Doymaz, I. (2003). Thin layer drying characteristics of corn. *Journal of Food Engineering*, 60, 125-130.
- Henderson, S.M. & Pabis, S. (1961). Grain drying theory I: temperature effect on drying coefficient. *Journal of Agricultural Engineering Research*, 7, 85-89.
- Lewis, W.K. (1921). The rate of drying of solid materials. *Journal of Industrial and Engineering Chemistry*, 13(5), 427- 432.
- Miyamoto, K., Tan D.L.S. & Ishibashi, K. (2001). Thin layer drying of sweet potato chips and processed grapes. *Transactions of ASAE*, 44(3), 669-674.
- Mohapatra, D. & Srinivasa, P.R. (2005). A thin layer drying model of parboiled wheat. *Journal of Food Engineering*, 66, 513-518.
- Omíd, M., Baharlooei, A. & Ahmadi, H. (2009). Modeling drying kinetics of pistachio nuts with multilayer feed-forward neural network, *Drying Technology*, 27(10), 1069-1077.
- Özdemir, M. & Devres, Y.O. (1999). The thin layer drying characteristics of hazelnuts during roasting. *Journal of Food Engineering*, 42, 225-233.
- Pabis, S., Jayas, D. & Cenkowski, S. (1998). *Grain Drying: Theory and Practice*, John Wiley & Sons.
- Page, G. (1949). Factors influencing the maximum rates of air drying shelled corn in thin-layer. MSc Thesis, Purdue University West Lafayette, Indiana: USA.
- Patak, P.T. (1991). Thin layer drying model for rapeseed. *Transactions of the ASAE*, 34(6), 2505-2508.
- Rafiee, S. (1998). *An investigation on paddy drying techniques*. MS thesis, Department of Agricultural Machinery, University of Tehran, Karaj, Iran, (In Farsi).
- Rafiee, S. & Kashaninejad, M. (2005). Pistachio nut (Ohadi) moisture simulation during drying with high temperature finite element method. *Iranian Journal of Food Science and Technology*, 2(1), 15-26. (In Farsi)
- Shei, H.J. & Chen, Y.L. (1998). Intermittent drying of rough rice. *Drying Technology*, 16 (3-5), 839-851.
- Sun, D.W. & Woods, J.L. (1994). Low temperature moisture transfer characteristics of wheat in thin layers, *Transactions of the ASAE*, 37(6), 1919-1928.
- Wang, C.Y., & Singh, R.P. (1978). A single layer drying equation for rough rice. *ASAE*: St. Joseph, MI: USA, Paper No. 78-3001.
- Yadollahinia, A.R. (2006). *A thin layer drying model for paddy dryer*, MSc thesis, University of Tehran, Karaj, Iran. (In Farsi)
- Yadollahinia, A.R., Omid, M. & Rafiee, S. (2008). Design and fabrication of experimental dryer for studying agricultural products, *International Journal of Agriculture and Biology*, 10(1), 61-65.
- Yaldız, O. & Ertekin, C. (2001). Thin layer solar drying of some vegetables. *Drying Technology*, 19, 583-596.